

# ПОЛЯРИЗАЦИЯ ВАКУУМА В ВОДОРОДОПОДОБНОМ РЕЛЯТИВИСТСКОМ АТОМЕ: СВЕРХТОНКАЯ СТРУКТУРА

*C. Г. Каршенбойм\**

*Государственный научный центр  
Всероссийский научно-исследовательский институт метрологии им. Д. И. Менделеева  
198005, Санкт-Петербург, Россия*

*B. Г. Иванов*

*Главная астрономическая обсерватория Российской академии наук  
196140, Санкт-Петербург, Россия*

*B. M. Шабаев*

*Санкт-Петербургский государственный университет  
198904, Санкт-Петербург, Россия*

Поступила в редакцию 19 июля 1999 г.

Рассматривается вклад поляризации вакуума в сверхтонкое расщепление основного состояния водородоподобного атома. Выражение для поправки к энергии получено в виде явной функции параметра  $Z\alpha$ . Окончательное выражение, найденное в терминах обобщенных гипергеометрических функций и их производных, представляет собой функцию отношения масс частиц на орбите и в вакуумной петле и, следовательно, справедливо как для обычных, так и для мюонных атомов. Представлены также различные асимптотики.

PACS: 12.20.Ds; 31.30.Jv; 32.10.Fn

## 1. ВВЕДЕНИЕ

Эффекты поляризации вакуума влияют на уровень энергии в обычных (электронных) и в мюонных атомах. Наиболее важен лэмбовский сдвиг, который в мюонных атомах имеет место в главном приближении в силу упомянутых эффектов (рис. 1a). Аналитическое вычисление этой поправки представлено в [1]. Настоящая работа посвящена вкладу в сверхтонкое расщепление основного состояния водородоподобного атома и является непосредственным продолжением работы [1].

Вычисление ведущей поляризационной поправки к сверхтонкому расщеплению — задача более сложная, чем для случая лэмбовского сдвига. Вклад дают однопотенциальная (рис. 1б) и двухпотенциальная диаграммы (рис. 1в):

$$\Delta E_{hfs} = E_{TU} + E_{UT}. \quad (1)$$

Однопотенциальный вклад полностью аналогичен

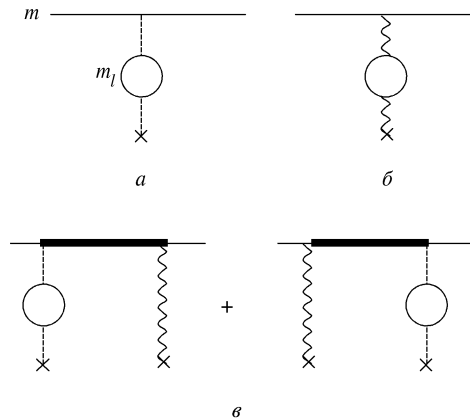
рассмотренному в [1, 2] вкладу в лэмбовский сдвиг, тогда как вклад диаграмм на рис. 1в, содержащих потенциал Юлинга и магнитное взаимодействие с кулоновской функцией Грина между ними, оказывается гораздо сложнее [3]. Тем не менее и он может быть вычислен в замкнутом аналитическом виде.

Напомним основные результаты для сверхтонкого расщепления основного состояния водородоподобного электронного и мюонного атомов. В электронном случае известны первые члены разложения по малому параметру  $Z\alpha$  [4–6], а для больших значений заряда ядра имеются численные расчеты [7, 8].

Для мюонного атома недавно был получен нерелятивистский результат [9], причем однопотенциальный вклад был найден в аналитическом виде, а двухпотенциальный — в виде однократного интеграла.

Следует отметить, что все указанные расчеты, кроме численных [7, 8], проводились для точечного ядра. Конечно, эффекты распределения заряда и магнитного момента оказываются существенными при увеличении  $Z$ . Однако следует отметить, что

\*E-mail: ksg@hm.csa.ru



**Рис. 1.** Вклад поляризации вакуума в энергию. Связанная частица имеет массу  $m$ , а частица в поляризационной петле —  $m_l$ . Жирная линия отвечает редуцированной функции Грина частицы в кулоновском поле ядра

аналогичные вычисления можно провести и для более возбужденных уровней, для которых такие эффекты не столь важны. В случае электронных атомов наибольший интерес представляют уровни  $1s$  и  $2s$ , для которых мы нашли новые члены разложения при малых значениях параметра  $Z\alpha$ , актуальные для мюонии и водорода. В случае мюонных атомов возможны вычисления для более высоких уровней, поскольку эффекты сверхтонкой структуры в мюонных атомах оказываются более важными, чем в случае обычных атомов.

Работа организована следующим образом: вначале мы обсуждаем общее выражение для однопотенциального вклада, затем — для двухпотенциального. Далее рассматриваем различные асимптотики. В заключение проводится обсуждение результатов и дается сравнение с численными расчетами.

В данной работе мы полностью следуем обозначениям, использованным в [1], и в частности

$$\varepsilon = 1 - \sqrt{1 - (Z\alpha)^2}, \quad \kappa = Z\alpha m/m_l,$$

$m_l$  — масса частицы в петле,  $m$  — масса связанной частицы,  $\hbar = c = 1$ .

## 2. ОБЩЕЕ ВЫРАЖЕНИЕ

### 2.1. Однопотенциальный вклад

Вычисление однопотенциального вклада (рис. 1б) удобно начать с замены в импульс-

ном представлении, отвечающей вставке свободной поляризации вакуума (ср. (4) в [1]):

$$\varepsilon_{abc} \frac{q_b \mu_c}{\mathbf{q}^2} \rightarrow \frac{\alpha}{\pi} \int_0^1 dv \frac{v^2(1 - v^2/3)}{1 - v^2} \varepsilon_{abc} \frac{q_b \mu_c}{\mathbf{q}^2 + \lambda^2}, \quad (2)$$

где  $\mu$  — магнитный момент ядра,

$$\lambda(v) = \frac{2 m_l}{\sqrt{1 - v^2}}, \quad (3)$$

а частица в петле имеет массу  $m_l$ . В координатном представлении замена приобретает вид

$$\varepsilon_{abc} \nabla_b \mu_c \frac{1}{r} \rightarrow \frac{\alpha}{\pi} \int_0^1 dv \frac{v^2(1 - v^2/3)}{1 - v^2} \varepsilon_{abc} \nabla_b \mu_c \frac{e^{-\lambda r}}{r}. \quad (4)$$

Однопотенциальный вклад определяется соотношением

$$E_{TU} = \frac{\alpha}{\pi} E_T R_{TU}(\kappa). \quad (5)$$

Здесь  $E_T$  — матричный элемент от магнитного обмена без радиационной поправки, найденный для основного состояния в работе [10],

$$E_T(1s) = \frac{E_F}{2 [1 - (Z\alpha)^2] - \sqrt{1 - (Z\alpha)^2}}, \quad (6)$$

где энергия Ферми  $E_F$  отвечает нерелятивистскому взаимодействию двух магнитных моментов:

$$E_F = \frac{4}{3} \alpha (Z\alpha)^3 \frac{\mu}{\mu_N} \frac{m}{m_p} \frac{2I+1}{2I} m, \quad (7)$$

$\mu_N$  — ядерный магнетон,  $I$  — спин ядра, а  $m_p$  — масса протона.

В общем случае дипольное магнитное взаимодействие содержит спин-спиновый и спин-орбитальный члены. В случае  $s$ -состояний второй член, очевидно, равен нулю, что позволяет значительно упростить выражение для поправки

$$R_{TU}(\lambda) = \frac{\int_0^\infty dr r^2 f(r) g(r) (\partial/\partial r) (e^{-\lambda r}/r)}{\int_0^\infty dr r^2 f(r) g(r) (\partial/\partial r) (1/r)}. \quad (8)$$

Радиальный интеграл легко берется

$$\mathcal{R}_{TU}(\lambda) = \frac{\int_0^\infty dr r^2 e^{-2\gamma r} r^{-2\varepsilon} (\partial/\partial r)(e^{-\lambda r}/r)}{\int_0^\infty dr r^2 e^{-2\gamma r} r^{-2\varepsilon} (\partial/\partial r)(1/r)} = \left(\frac{2\gamma}{2\gamma + \lambda}\right)^{1-2\varepsilon} \left[1 + (1-2\varepsilon)\frac{\lambda}{2\gamma + \lambda}\right], \quad (9)$$

а возникший однократный интеграл

$$R_{TU}(\kappa) = \int_0^1 dv \frac{v^2(1-v^2/3)}{\sqrt{1-v^2}} \left(\frac{\kappa}{1+\kappa\sqrt{1-v^2}}\right) \left(\frac{\kappa\sqrt{1-v^2}}{1+\kappa\sqrt{1-v^2}}\right)^{-2\varepsilon} \left[1 + (1-2\varepsilon)\frac{1}{1+\kappa\sqrt{1-v^2}}\right] \quad (10)$$

легко выразить в терминах базовых интегралов (см. (16) в [1])

$$E_{TU}(1s) = \frac{\alpha}{\pi} \frac{E_F}{2[1-(Z\alpha)^2] - \sqrt{1-(Z\alpha)^2}} \left\{ \left(I_{121} - \frac{1}{3}I_{221}\right) + \frac{1-2\varepsilon}{\kappa} \left(I_{132} - \frac{1}{3}I_{232}\right) \right\}. \quad (11)$$

Аналитичность результата определяется фактором (6):

$$(Z\alpha) < \sqrt{3}/2, \quad \text{или} \quad Z < 118.676\dots \quad (12)$$

## 2.2. Двухпотенциальный вклад

Рассмотрим теперь вклад диаграмм на рис. 1 $\sigma$ . Отличие этого вклада от однопотенциального заключается в наличии кулоновской функции Грина, соединяющей потенциалы. Однако вклад можно переписать в виде некоторого матричного элемента от потенциала Юлинга, рассмотренного нами в [1], по волновой функции, возмущенной магнитным полем. Такая функция найдена явно в [11]. Используя явное выражение для возмущенной волновой функции (см. Приложение), получаем (ср. [1])

$$E_{UT} = \frac{\alpha}{\pi} E_T R_{UT}(\kappa), \quad (13)$$

где

$$R_{UT}(\kappa) = \int_0^1 dv \frac{v^2(1-v^2/3)}{1-v^2} \mathcal{R}_{UT}(\lambda(v)), \quad (14)$$

$$\mathcal{R}_{UT}(\lambda) = \frac{\int_0^\infty (f_{1s} X_{1s} + g_{1s} Y_{1s}) [(Z\alpha) e^{-\lambda r}/r] dr}{\int_0^\infty f_{1s} g_{1s} dr}, \quad (15)$$

явные выражения радиальных компонент волновых функций приведены в Приложении.

Не составляет труда вычислить радиальные интегралы в (15) и в результате получить

$$R_{UT}(\kappa) = \frac{3-8\varepsilon+8\varepsilon^2-2\varepsilon^3}{(1-\varepsilon)^2} J_{20}(\kappa) - \frac{2}{1-\varepsilon} J_{21}(\kappa) + \frac{2(\varepsilon+1)}{1-2\varepsilon} J_{10}(\kappa) - 2(1-\varepsilon) J_{30}(\kappa), \quad (16)$$

где  $J$ -интегралы

$$J_{mn}(\kappa) = \int_0^1 dv \frac{v^2(1-v^2/3)}{1-v^2} \left(\frac{\kappa y}{1+\kappa y}\right)^{m-2\varepsilon} \ln^n \frac{\kappa y}{1+\kappa y} \quad (17)$$

выражаются в терминах производных интегралов  $I_{abc}$  (см. (16) в [1]) [3]:

$$J_{mn} = \frac{\partial^n}{\partial \mu^n} \left[ I_{12\mu} - \frac{1}{3} I_{22\mu} \right]_{\mu=m}. \quad (18)$$

Как и в случае однопотенциального члена, аналитичность по  $Z$  определяется условием (12).

### 3. ПОПРАВКА К СВЕРХТОНКОМУ РАСЩЕПЛЕНИЮ ПРИ $Z\alpha \ll 1$

При больших значениях  $Z$  существенную роль играют конечные размеры ядра, поэтому полученные формулы наиболее актуальны в нерелятивистском пределе ( $Z\alpha \ll 1$ ). Начнем рассмотрение с однопотенциального вклада.

#### 3.1. Однопотенциальный вклад

В шредингеровском приближении результат известен аналитически [9]:

$$r_{TU}(\kappa) = \frac{2 - \kappa^2 + 2\kappa^4}{3\kappa^3} \mathcal{A}(\kappa) - \frac{2}{3\kappa^3} \frac{\pi}{2} + \frac{6 + \kappa^2}{9\kappa^2}, \quad (19)$$

где

$$\mathcal{A}(\kappa) = \frac{\arccos(\kappa)}{\sqrt{1 - \kappa^2}} = \frac{\ln(\kappa + \sqrt{\kappa^2 - 1})}{\sqrt{\kappa^2 - 1}}, \quad (20)$$

и аналогично выражению (18) в [1] определено

$$R_{TU}(\kappa) = r_{TU}(\kappa) - 2\varepsilon p_{TU}(\kappa) + \mathcal{O}(\varepsilon^2). \quad (21)$$

Дальнейшее разложение в нерелятивистском приближении приводит к результату при малых  $\kappa$ :

$$R_{TU} = \frac{3\pi}{8}\kappa - \frac{4}{5}\kappa^2 + \frac{5\pi}{24}\kappa^3 - \left(\frac{3\pi}{8}\ln\frac{\kappa}{2} + \frac{\pi}{32}\right)\kappa(Z\alpha)^2. \quad (22)$$

Подставляя разложенный нормировочный фактор

$$E_T = E_F \left[ 1 + \frac{3}{2}(Z\alpha)^2 \right], \quad (23)$$

для электронного атома ( $\kappa = Z\alpha$ ) получаем результат

$$E_{TU} = \frac{\alpha}{\pi} E_F \left\{ \frac{3\pi}{8}(Z\alpha) - \frac{4}{5}(Z\alpha)^2 + \left[ -\frac{3\pi}{8} \ln \frac{Z\alpha}{2} + \frac{71\pi}{96} \right] (Z\alpha)^3 \right\}, \quad (24)$$

подтверждающий все известные ранее коэффициенты (см. [4, 6]) и содержащий один новый, обозначаемый  $C_{30}$ .

#### 3.2. Двухпотенциальный вклад

В отличие от однопотенциального вклада, для двухпотенциального даже в ведущем нерелятивистском приближении не удается получить достаточно компактное выражение. В частности, не удается существенно упростить интеграл  $J_{21}$  [9]:

$$R_{UT}(\kappa) = \pi \frac{\kappa^2 - 2}{2\kappa^3} + \frac{5\kappa^4 - 8\kappa^2 + 6}{3\kappa^2(1 - \kappa^2)} + \frac{2\kappa^6 - 3\kappa^4 + 4\kappa^2 - 2}{\kappa^3(\kappa^2 - 1)} \mathcal{A}(\kappa) - 2J_{21}. \quad (25)$$

В работе [9] также найдены асимптотики данного выражения при больших и малых значениях параметра  $\kappa$ .

Дальнейшее нерелятивистское разложение при малых значениях  $\kappa$  приводит к результату

$$R_{UT}(\kappa) = \frac{3\pi}{8}\kappa + \left( \frac{214}{225} - \frac{8}{15}\ln(2\kappa) \right)\kappa^2 + \left( -\frac{43\pi}{288} + \frac{5\pi}{24}\ln\frac{\kappa}{2} \right)\kappa^3 + \left( \frac{23\pi}{32} - \frac{3\pi}{8}\ln\frac{\kappa}{2} \right)\kappa(Z\alpha)^2. \quad (26)$$

В случае электронных атомов, полагая  $\kappa = Z\alpha$ , находим [12]

$$R_{UT}(\kappa) = \frac{3\pi(Z\alpha)}{8} + \left( \frac{214}{225} - \frac{8}{15}\ln(2Z\alpha) \right)(Z\alpha)^2 + \left( \frac{41\pi}{72} - \frac{\pi}{6}\ln\frac{Z\alpha}{2} \right)(Z\alpha)^3 \quad (27)$$

или

$$E_{UT} = \frac{\alpha}{\pi} E_F \left\{ \frac{3\pi Z\alpha}{8} + \left[ \frac{214}{225} - \frac{8}{15}\ln(2Z\alpha) \right](Z\alpha)^2 + \left[ \frac{163\pi}{144} - \frac{\pi}{6}\ln\frac{Z\alpha}{2} \right](Z\alpha)^3 \right\}. \quad (28)$$

Как и в однопотенциальном случае (24), это выражение подтверждает все известные до настоящего времени коэффициенты разложения [4, 6] и, кроме того, представляет результат для одного нового ( $C_{30}$ ).

#### 4. СВЕРХТОНКОЕ РАСПЩЕПЛЕНИЕ В МЮОННЫХ АТОМАХ

##### 4.1. Однопотенциальный вклад

Для нерелятивистских мюонных атомов более актуальна асимптотика при малых значениях  $Z\alpha$  и больших  $\kappa$ :

$$R_{TU}(\kappa) = \left\{ \frac{2}{3} \ln(2\kappa) + \frac{1}{9} \right\} + \frac{\pi^2}{9} (Z\alpha)^2 + \mathcal{O}((Z\alpha)^4) + \mathcal{O}\left(\frac{1}{\kappa^2}\right). \quad (29)$$

В более общем случае можно получить выражение

$$R_{TU}(\kappa) = I_{21} + (1 - 2\varepsilon) \frac{1}{\kappa} I_{32}, \quad (30)$$

где интегралы  $I_{bc}$  определены в (32) в [1]. Один из них ( $I_{21}$ ) найден в [1] (см. (37)), другой ( $I_{32}$ ) известен лишь частично:

$$I_{32} = I_{32}^{(1)} + I_{32}^{(2)}, \quad (31)$$

где (см. (34) в [1])

$$I_{bc}^{(1)} = \frac{2}{3} \kappa^{b-2} B_{1-\delta}(2 - b + c - 2\varepsilon, b - 2), \quad \delta = \frac{1}{1 + \kappa} \ll 1 \quad (32)$$

и

$$B_{1-\delta}(c - 2\varepsilon - 1, 1) = \frac{1}{c - 2\varepsilon - 1} - \frac{1}{\kappa} + \frac{c - 2\varepsilon}{2\kappa^2} + \mathcal{O}\left(\frac{1}{\kappa^2}\right). \quad (33)$$

Второе слагаемое равно

$$I_{3c}^{(2)} = -\left(\frac{\pi}{4} - \frac{2}{3}\right) + \frac{c - 2\varepsilon}{6\kappa} + \mathcal{O}\left(\frac{1}{\kappa^2}\right), \quad (34)$$

и в итоге находим

$$\frac{1}{\kappa} I_{3c} = \frac{2}{3} \frac{1}{c - 2\varepsilon - 1} - \frac{\pi}{4} \frac{1}{\kappa} + \frac{c - 2\varepsilon}{2\kappa^2} + \mathcal{O}\left(\frac{1}{\kappa^3}\right). \quad (35)$$

Окончательно однопотенциальная поправка для сверхтонкого расщепления в мюонном атоме оказывается равной

$$R_{TU}(\kappa) = \left[ \frac{2}{3} \ln(2\kappa) + \frac{2}{3} [\psi(1) - \psi(1 - 2\varepsilon)] + \frac{1}{9} \right] + \left[ \frac{2}{3} - \frac{5}{6} \varepsilon - \frac{5}{3} \varepsilon^2 \right] \frac{1}{\kappa^2} + \mathcal{O}\left(\frac{1}{\kappa^3}\right). \quad (36)$$

Выражение содержит элементарные функции и  $\psi$ -функцию — логарифмическую производную гамма-функции. Результат согласуется с двойной асимптотикой ( $Z\alpha \ll 1$  и  $\kappa \gg 1$ ), представленной в (29).

##### 4.2. Двухпотенциальный вклад

Вначале рассмотрим двойной предел  $Z\alpha \ll 1$  и  $\kappa \gg 1$ :

$$R_{UT}(\kappa) = 2 \ln(2\kappa) - 3 + \frac{2\pi^2}{9} + \left( 2 \ln(2\kappa) - \frac{4}{3} \psi''(2) - 3 + \frac{4\pi^2}{9} \right) (Z\alpha)^2 + \mathcal{O}((Z\alpha)^4) + \mathcal{O}\left(\frac{1}{\kappa^2}\right). \quad (37)$$

В более общем случае ( $\kappa \gg 1$  при произвольных значениях  $Z\alpha$ ) в выражении появляются производные  $\psi$ -функции:

$$\begin{aligned} R_{UT}(\kappa) = & \frac{3 - 6\varepsilon + 4\varepsilon^2 - 2\varepsilon^3}{(1 - \varepsilon)^2(1 - 2\varepsilon)} \left[ \frac{2}{3} \ln(2\kappa) + \frac{2}{3} [\psi(1) - \psi(1 - 2\varepsilon)] + \frac{1}{9} \right] + \\ & + \left[ \frac{4}{3(1 - \varepsilon)} \psi'(2 - 2\varepsilon) - \frac{2}{3} \frac{3 - \varepsilon}{(1 - \varepsilon)(1 - 2\varepsilon)} \right] + \frac{3 - 2\varepsilon + \varepsilon^2}{\kappa^2} + \mathcal{O}\left(\frac{1}{\kappa^3}\right). \end{aligned} \quad (38)$$

## 5. ОБСУЖДЕНИЕ РЕЗУЛЬТАТОВ

Обсудим кратко полученные результаты. В случае обычных (электронных) атомов мы получили разложение при малых значениях  $Z\alpha$

$$\Delta E_{hfs} = \frac{\alpha}{\pi} E_F \left\{ \frac{3\pi}{4} Z\alpha + \left[ \frac{34}{225} - \frac{8}{15} \ln(2Z\alpha) \right] (Z\alpha)^2 + \left[ \frac{539\pi}{288} - \frac{13\pi}{24} \ln \frac{Z\alpha}{2} \right] (Z\alpha)^3 \right\}, \quad (39)$$

которое наряду с известными коэффициентами содержит и один новый. Возможность проводить разложение до произвольного порядка малости оказывается важной как для собственно поляризационной поправки, так и вообще для изучения структуры ряда по параметру  $Z\alpha$ . Появление квадрата логарифма этого параметра в различных поправках [13, 6] делает точные вычисления предпочтительными. Данный результат наряду с расчетами юлинговской поправки впервые получен в замкнутой аналитической форме в виде явной функции параметра  $Z\alpha$ .

Не составляет труда получить разложения столь высоких порядков, сколь это необходимо. Например, в четвертом порядке по параметру  $Z\alpha$  получаем

$$\Delta E_{TU}^{(4)} = \frac{\alpha}{\pi} E_F (Z\alpha)^4 \left( \frac{4}{5} \ln(2Z\alpha) - \frac{303}{175} \right)$$

и

$$\Delta E_{UT}^{(4)} = \frac{\alpha}{\pi} E_F (Z\alpha)^4 \left( \frac{8}{15} \ln^2(2Z\alpha) - \frac{5336}{1575} \ln(2Z\alpha) + \frac{767881}{165375} - \frac{2\pi^2}{45} \right).$$

Как упоминалось выше, имеются также численные результаты для расчетов данной поправки [7, 8]. Для сравнения прежде всего заметим, что часто при численных и аналитических расчетах в электронных атомах ( $\kappa = Z\alpha$ ) используется несколько другая параметризация результата

$$E_{hfs}(1s) = \frac{\alpha}{\pi} E_F F(Z\alpha). \quad (40)$$

В таблице для сравнения приведены результаты для однопотенциального и двухпотенциального вкладов в полное выражение  $F$  (см. (11) и (16)), разложений (см. (24) и (28)) и численные результаты. Мы проводим сравнение только с результатами [8] для  $Z \leq 10$ , так как при больших  $Z$  в данной работе было использовано неточечное ядро, как и при вычислениях в работе [7].

Приведем также найденные выше для мюонных атомов асимптотики

$$\begin{aligned} \Delta E_{hfs} = & \frac{\alpha}{\pi} E_T \left\{ \frac{4 - 10\varepsilon + 9\varepsilon^2 - 4\varepsilon^3}{(1-\varepsilon)^2(1-2\varepsilon)} \left[ \frac{2}{3} \ln(2\kappa) + \frac{2}{3} [\psi(1) - \psi(1-2\varepsilon)] + \frac{1}{9} \right] + \right. \\ & \left. + \left[ \frac{4}{3(1-\varepsilon)} \psi'(2-2\varepsilon) - \frac{2}{3} \frac{3-\varepsilon}{(1-\varepsilon)(1-2\varepsilon)} \right] + \left( \frac{11}{3} - \frac{17}{3}\varepsilon - \frac{2}{3}\varepsilon^2 \right) \frac{1}{\kappa^2} + \mathcal{O}\left(\frac{1}{\kappa^3}\right) \right\}, \end{aligned}$$

Аналитические результаты данной работы и численные результаты работы [8] (обозначенные в [8] как  $E_{VP}^{ML-U_e}$  и  $E_{VP}^{EL-U_e}$  соответственно)

$Z$	Однопотенциальный вклад			Двухпотенциальный вклад		
	$F_{TU}$ (11)	$F_{TU}, Z \rightarrow 0$ (24)	Численно [8]	$F_{UT}$ (16)	$F_{UT}, Z \rightarrow 0$ (28)	Численно [8]
1	0.0085578	0.0085579	0.0085578	0.0087703	0.0087702	0.0087691
3	0.0254869	0.0254877	0.025487	0.0271133	0.0271086	0.027112
5	0.0422566	0.0422619	0.042257	0.0464153	0.0463843	0.046414
7	0.0589599	0.0589771	0.058960	0.0666723	0.0665652	0.066671
10	0.0840724	0.0841284	0.084072	0.0989572	0.0985560	0.098955
25	0.2192738	0.2195350	—	0.3068919	0.2936806	—

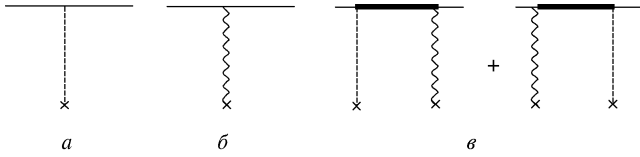


Рис. 2. Скелетные диаграммы

которые при малых значениях заряда ядра приобретают вид

$$\Delta E_{hfs} = \frac{\alpha}{\pi} E_F \left\{ \frac{8}{3} \ln(2\kappa) - \frac{26}{9} + \frac{2\pi^2}{9} + \frac{11}{3\kappa^2} + \right. \\ \left. + \left( 6 \ln(2\kappa) - \frac{4}{3} \psi''(2) - \frac{22}{3} + \frac{8\pi^2}{9} + \frac{103}{24\kappa^2} \right) (Z\alpha)^2 + \mathcal{O}((Z\alpha)^4) + \mathcal{O}\left(\frac{1}{\kappa^3}\right) \right\},$$

Обе асимптотики содержат большой логарифм ( $\ln(2\kappa)$ ), который может быть найден с использованием бегущей константы связи и известных матричных элементов для скелетных диаграмм (рис. 2) [12], в частности

$$E_{TU}^{Sc}(1s) = E_T(1s) \quad \text{и} \quad E_{UT}^{Sc}(1s) = Z\alpha \frac{\partial E_T(1s)}{\partial(Z\alpha)} = \frac{3 - 6\varepsilon + 4\varepsilon^2 - 2\varepsilon^3}{(1 - \varepsilon)^2(1 - 2\varepsilon)} E_T(1s).$$

Рецепт вычисления логарифмических членов заключается в умножении скелетных матричных элементов на величину

$$\frac{2}{3} \frac{\alpha}{\pi} \ln \frac{\bar{q}_{at}}{m_l},$$

которая возникает из известного выражения для бегущей константы связи (ср. [1]). Характерный атомный импульс равен  $\bar{q}_{at} = Zam = km_l$ . В итоге получаются логарифмические вклады, содержащиеся в (36), (38), что служит еще одним подтверждением этих результатов.

В заключение заметим, что подобные расчеты могут быть проведены для сверхтонкого расщепления любого уровня. Выражение для релятивистской энергии  $E_T$  известно [14], как и способ вычисления поправки к волновой функции, возмущенной магнитным полем ядра [15, 11].

Работа выполнена при частичной поддержке программы «Фундаментальная метрология», а также Российского фонда фундаментальных исследований (проект 98-02-18350) и программы «Университеты России. Фундаментальные исследования» (проект 3930).

## ПРИЛОЖЕНИЕ

### Возмущение дираковской кулоновской волновой функции магнитным полем ядра

Поправка первого порядка по сверхтонкому взаимодействию к дираковской кулоновской волновой функции может быть найдена аналитически методом обобщенных вироидальных соотношений, развитым в [15]. Явное решение для основного состояния в форме удобной для практических вычислений было представлено в [11] (во второй строке уравнения (18) этой статьи следует изменить знак перед  $\varepsilon_{nk}$ ). Ниже мы следуем обозначениям, принятым в [16]. Дираковская волновая функция определяется нами в следующем виде:

$$\Psi_{njl} = \begin{pmatrix} f_{njl}(r) \Omega_{jlm}(\mathbf{n}) \\ -i(\boldsymbol{\sigma} \cdot \mathbf{n}) g_{njl}(r) \Omega_{jlm}(\mathbf{n}) \end{pmatrix}, \quad (\Pi.1)$$

где

$$f_{1s} = 2 \sqrt{\frac{(Z\alpha)^3 m^3 (2 - \varepsilon)}{\Gamma(3 - 2\varepsilon)}} (2Z\alpha mr)^{-\varepsilon} e^{-Z\alpha mr}, \quad (\Pi.2)$$

$$g_{1s} = -2 \sqrt{\frac{(Z\alpha)^5 m^3}{(2 - \varepsilon)\Gamma(3 - 2\varepsilon)}} (2Z\alpha mr)^{-\varepsilon} e^{-Z\alpha mr} \quad (\Pi.3)$$

— компоненты чисто кулоновской функции (см. [16]).

Линейная по магнитному моменту ядра поправка к основному состоянию представляет собой сложное выражение, содержащее вклады  $s$ - и  $d$ -волн. Нас интересует матричный элемент от центрального потенциала (см. (15)), поэтому здесь приводим только первый из этих двух вкладов

$$(\delta\Psi_{1,1/2,0,m})^s = -\frac{2}{3}\alpha \frac{\mu}{\mu_N} \frac{1}{m_p} \frac{F(F+1) - I(I+1) - 3/4}{2I} \begin{pmatrix} X_{1s}(r) \Omega_{1/2,0,m}(\mathbf{n}) \\ -i(\boldsymbol{\sigma} \cdot \mathbf{n}) Y_{1s}(r) \Omega_{1/2,0,m}(\mathbf{n}) \end{pmatrix}, \quad (\text{П.4})$$

где полный момент системы  $F$  может принимать значения  $I \pm 1/2$ , а радиальные компоненты имеют вид [11]

$$X_{1s} = \frac{1}{1-4(1-\varepsilon)^2} \left[ \left( \frac{2(Z\alpha)^3 m}{1-\varepsilon} - \frac{3}{r} \right) f_{1s} + \left( 3(2-\varepsilon)m - \frac{2Z\alpha}{r} \right) g_{1s} - \frac{2Z\alpha(3-2\varepsilon)m}{r} F_{1s} \right], \quad (\text{П.5})$$

$$Y_{1s} = \frac{1}{1-4(1-\varepsilon)^2} \left[ \left( \frac{2(Z\alpha)^3 m}{1-\varepsilon} + \frac{3}{r} \right) g_{1s} + \left( -3\varepsilon m + \frac{6Z\alpha}{r} \right) f_{1s} - \frac{2Z\alpha(3-2\varepsilon)m}{r} G_{1s} \right], \quad (\text{П.6})$$

$$F_{1s}(r) = \sqrt{\frac{Z\alpha m(2-\varepsilon)}{\Gamma(3-2\varepsilon)}} e^{-Z\alpha mr} (2Z\alpha mr)^{1-\varepsilon} \left[ \frac{\psi(3-2\varepsilon)}{1-\varepsilon} + 2 - \varepsilon - \frac{1}{2(1-\varepsilon)} - Z\alpha mr - \frac{1}{1-\varepsilon} \ln(2Z\alpha mr) \right], \quad (\text{П.7})$$

$$G_{1s}(r) = -\sqrt{\frac{(Z\alpha)^3 m}{(2-\varepsilon)\Gamma(3-2\varepsilon)}} e^{-Z\alpha mr} (2Z\alpha mr)^{1-\varepsilon} \left[ \frac{\psi(3-2\varepsilon)}{1-\varepsilon} + 2 - \varepsilon + \frac{1}{2(1-\varepsilon)} - Z\alpha mr - \frac{1}{1-\varepsilon} \ln(2Z\alpha mr) \right]. \quad (\text{П.8})$$

## ЛИТЕРАТУРА

1. С. Г. Каршенбойм, ЖЭТФ **116**(11), (1999).
2. S. G. Karshenboim, Can. J. Phys. **76**, 168 (1998).
3. S. G. Karshenboim, V. G. Ivanov, and V. M. Shabaev, Can. J. Phys. **76**, 503 (1998).
4. S. L. Brodsky and G. W. Erickson, Phys. Rev. **148**, 26 (1966).
5. S. M. Schneider, W. Greiner, and G. Soff, Phys. Rev. A **50**, 118 (1994).
6. S. G. Karshenboim, Z. Phys. D **36**, 11 (1996).
7. V. M. Shabaev, M. Tomaselli, T. Kühl, A.N. Artemyev, and V. A. Yerokhin, Phys. Rev. A **56**, 252 (1997).
8. P. Sunnergren, H. Person, S. Salomonson, S. M. Schneider, I. Lindgren, and G. Soff, Phys. Rev. A **58**, 1055 (1998).
9. S. G. Karshenboim, U. Jentschura, G. Soff, and V. G. Ivanov, Euro. J. Phys. D **2**, 209 (1998).
10. G. Breit, Phys. Rev. **35**, 1477 (1930).
11. M. B. Shabaeva and V. M. Shabaev, Phys. Rev. A **52**, 2811 (1995).
12. S. G. Karshenboim, V. G. Ivanov, and V. M. Shabaev, Phys. Scripta **80**, 491 (1999).
13. С. Г. Каршенбойм, ЖЭТФ **103**, 1105 (1993).
14. P. Pyykko, E. Pajanne, and M. Inokuti, Int. J. Quant. Chem. **7**, 785 (1973).
15. V. M. Shabaev, J. Phys. B **24**, 4479 (1991).
16. В. Б. Берестецкий, Е. М. Лифшиц, Л. П. Питаевский, *Квантовая электродинамика*, Наука, Москва (1980).